

ارزیابی فعالیت آنتی‌اکسیدانی و ضدمیکروبی نانومولسیون عصاره زرشک (*Berberis vulgaris*) به عنوان نگهدارنده طبیعی در یک مدل غذایی

بهروز دست پیمان^۱، امیر شاکریان^۲، زهره مشاک^{۳*}، ابراهیم رحیمی^۱، رضا شرافتی چالشتری^۴

^۱ گروه بهداشت مواد غذایی، دانشکده دامپزشکی، واحد شهرکرد، دانشگاه آزاد اسلامی، شهرکرد، ایران

^۲ مرکز تحقیقات تغذیه و فرآورده‌های ارگانیک، واحد شهرکرد، دانشگاه آزاد اسلامی، شهرکرد، ایران

^۳ گروه بهداشت مواد غذایی، واحد کرج، دانشگاه آزاد اسلامی، کرج، ایران

^۴ مرکز تحقیقات بیوشیمی و تغذیه در بیماریهای متابولیک، دانشگاه علوم پزشکی کاشان، کاشان، ایران.

*نویسنده مسئول مکاتبات: mashak@kiau.ac.ir

چکیده

در دهه‌های اخیر، ترجیح مصرف کننده بیشتر به سمت غذاهای نگهداری شده با نگهدارنده‌های طبیعی گیاهی (مانند عصاره و اسانس‌های روغنی) است. در این مطالعه پتانسیل فعالیت آنتی‌اکسیدانی و آنتی‌باکتریال نانو امولسیون عصاره زرشک ارزیابی شد. در مجموع سیزده ترکیب فنلی در عصاره شنا سایی شد. خاصیت آنتی‌اکسیدانی عصاره و نانو امولسیون عصاره زرشک با دو روش DPPH و ATBS به ترتیب mg/g ۰/۰۲ - ۰/۱۴ و mg/g ۰/۰۲ و ۰/۱۰ بود. همچنین خاصیت ضدمیکروبی آن روی باکتری‌های گرم مثبت (استافیلوکوکوس اورئوس و لیستریا مونوستیوژنر) و باکتری‌های گرم منفی (شریشیاکلی و سالمونلا انتریتیدیس) تأیید شدو باکتری‌های گرم مثبت نسبت به هر دو فرم عصاره آزاد و نانومولسیون عصاره حساسیت بالاتری داشتند. مقاومت‌ترین و حساس‌ترین پاتوژن‌ها نسبت به عصاره آزاد و نانومولسیون عصاره زرشک به ترتیب سالمونلا انتریتیدیس و استافیلوکوکوس اورئوس و بود. در ادمه پتانسیل اکسیداتیو (اکسیدا‌سیون لیپید و پروتئین) و آنتی‌باکتریال نانومولسیون‌ها بر روی فیله ماهی سفید دریایی خزر (*Rutilus frisii*) به عنوان یک مدل غذایی فسادپذیر استفاده شد. نتایج نشان دهنده افزایش پایداری اکسیداتیو، تشکیل کمتر ترکیبات نیتروژن فرار و کاهش بار میکروبی نمونه‌های فیله ماهی پوشش‌دهی بود. بطوریکه استفاده از نانومولسیون عصاره زرشک توانست طی ۶ روز کیفیت فیله‌های ماهی در دمای یخچال را حفظ کند. در مجموع می‌توان گفت استفاده از نانومولسیون عصاره زرشک به عنوان یک نگهدارنده طبیعی برای افزایش عمر مفید و حفظ کیفیت مواد غذایی پیشنهاد می‌شود.

کلمات کلیدی: نانومولسیون، ماندگاری مواد غذایی، نگهدارنده‌های طبیعی، *Rutilus frisii*, *Berberis vulgaris*

مقدمه

دلیل محتوی آلکالوئیدی، کاروتونوئیدها و ترکیبات فنلی، فلاونوئیدها، آنتوسیانین‌ها، محتوای ویتامین‌ها (C و E) و اسیدهای آلی یکی از قدیمی‌ترین گیاهان مورد استفاده در طب سنتی است (Tacer-Tanas *et al.*, 2024). همچنین میوه‌های زرشک (Homayoonfal *et al.*, 2021) به دلیل داشتن آنتوسیانین و کاروتونوئید بالا به عنوان یک رنگدانه طبیعی و عوامل آنتی‌اکسیدانی طبیعی استفاده می‌شود. علاوه بر این، به دلیل حضور آلکالوئید بربین^۱ و سایر ترکیبات زیست فعال (مانند پلی‌فنول‌ها و فلاونوئیدها)، عصاره زرشک فعالیت ضدمیکروبی قابل توجهی علیه باکتری‌های گرم مثبت و گرم منفی را نشان می‌دهد (Parseghian *et al.*, 2024). با این حال، ترکیبات زیست فعال موجود در عصاره زرشک، به شرایط محیطی حساس هستند و مهمتر از آن، گروه‌های هیدروکسیل فنلی آنتوسیانین‌ها به راحتی به فرم کینون اکسید می‌شوند و باعث کاهش فعالیت بیولوژیکی آنها می‌شود. از این رو، پایداری پایین کاربرد آنها را در فرآیندهای مختلف محدود کرده است که این امر در سال‌های اخیر به عنوان یک چالش Jawed Khan *et al.*, 2023) جدی در صنایع غذایی مطرح می‌باشد (Berberis vulgaris L. یک گیاه Berberidaceae بوته‌ای، با رنگ قرمز و طعم ترش از خانواده است و تقریباً ۱۹۰ گونه در سراسر جهان وجود دارد و در آرپا، آسیا و به ویژه ایران کشت می‌شود. میوه‌های زرشک تقریباً ۷ تا ۱۰ میلی‌متر طول و ۳ تا ۵ میلی‌متر پهنا دارند و ظاهری بیضی شکل و ساختاری شبیه زغال اخته دارند و به

نام انسان و عصاره‌های گیاهی در مدل آزمایش‌گاهی و همچنین مدل غذایی بوده است. تنوع نگهدارنده‌های طبیعی استخراج شده از گیاهان، علاوه بر امکان انتخاب متنوع، می‌تواند ماندگاری، ویژگی‌های تغذیه‌ای و خواص فیزیکو‌شیمیایی مواد غذایی را بهبود دهد (Soutelino *et al.*, 2024).

زرشک با نام علمی (Berberis vulgaris L.) یک گیاه Berberidaceae بوته‌ای، با رنگ قرمز و طعم ترش از خانواده است و تقریباً ۱۹۰ گونه در سراسر جهان وجود دارد و در آرپا، آسیا و به ویژه ایران کشت می‌شود. میوه‌های زرشک تقریباً ۷ تا ۱۰ میلی‌متر طول و ۳ تا ۵ میلی‌متر پهنا دارند و ظاهری بیضی شکل و ساختاری شبیه زغال اخته دارند و به

حفظ مواد غذایی از تمدن باستان یک دغدغه بزرگ بوده است. جوامع باستانی روش‌های نگهداری مختلفی مانند خشک کردن و نمک سود کردن را برای نگهداری طولانی‌تر غذا استفاده کردند. با پیشرفت جوامع، نگهدارنده‌های شیمیایی مانند بنزووات‌ها، نیترات‌ها و سوربات‌ها به طور گسترده‌ای برای افزایش ماندگاری مواد غذایی استفاده می‌شوند. با این حال، نگرانی‌هایی در مورد تأثیر منفی بالقوه استفاده بیش از حد از مواد نگهدارنده بر سلامت انسان وجود دارد (Cedillo-Olivos *et al.*, 2024). در نتیجه، مصرف کندگان به‌طور فزاینده‌ای خواستار افزودنی‌های ایمن، کارآمد و طبیعی هستند که دارای پتانسیل گسترده‌ای برای مهار رشد پاتوژن‌های غذایی باشند (Dong *et al.*, 2024). برای غلبه بر نگرانی مصرف‌کنندگان در سال‌های اخیر تمرکز محققان بر استفاده از نگهدارنده‌های طبیعی مانند انسانس و عصاره‌های گیاهی در مدل آزمایش‌گاهی و همچنین مدل غذایی بوده است. تنوع نگهدارنده‌های طبیعی استخراج شده از گیاهان، علاوه بر امکان انتخاب متنوع، می‌تواند ماندگاری، ویژگی‌های تغذیه‌ای و خواص فیزیکو‌شیمیایی مواد غذایی را بهبود دهد (Soutelino *et al.*, 2024).

^۱ Berberine

فسادپذیری بالا، طی ۹ روز نگهداری در دمای یخچال بررسی شده است.

مواد و روش کار

تهیه مواد اولیه: میوه تازه زرشک از بازار محلی (قاین، خراسان جنوی، ایران) تهیه شد. همچنین سویه‌های میکروبی پاتوژن‌های اشتریشیاکلی (PTCC 25922)، سالمونلا انتریتیدیس (PTCC 13076)، استافیلوکوکوس PTCC 7644 و لیستریا مونو سیتئونز (PTCC 13565) مورد بررسی بصورت ویال‌های لیوفیلیزه ۱ گرمی (10¹² CFU/Sachet) از مرکز کلکسیون میکرووارگانیسم‌های صنعتی ایران تهیه شدند. مواد شیمیایی مورد استفاده در این تحقیق از شرکت Merck (آلمان) و محیط‌های کشت استفاده شده از شرکت Q-Lab (کانادا) خریداری شدند.

تهیه عصاره میوه زرشک: میوه تازه رسیده درون آون (Memmert، آلمان) با دمای ۶۰ درجه سلسیوس به مدت ۴۸ ساعت خشک و پودر شد. پس از آن، اتانول (با خلوص ۹۹ درصد) به نسبت ۱:۱۰ (وزن / حجم) اضافه شد و به مدت ۷۲ ساعت در دمای اتاق به کمک شیکر (IKA، آلمان) هم زده شد. سپس، مخلوط از طریق کاغذ صافی چرخشی (Heidolph، آلمان) تبخیر شد. عصاره میوه زرشک جهت انجام آزمایشات (کمتر از دو هفته) در دمای ۲۰ درجه سلسیوس نگهداری شدند (Shekarabi et al., 2022).

تهیه نانو امواسیون عصاره زرشک: جهت تهیه نانوامولسیون، عصاره به نسبت مساوی با تویین ۸۰، به عنوان سورفکانت، به خوبی مخلوط شدند. سپس فاز آبی (آب مقطر) به و سیله اسید سیتریک ۳/۰ درصد اسیدی شده و مخلوط فاز روغنی (روغن آفتابگردان، لادن، ایران) با

در برابر بارش و تجمع نشان می‌دهند. همچنین نانوامولسیون‌ها از نظر ترمودینامیکی به سمت میکروارگانیسم‌هایی که در غشای خود ساختار لیپیدی دارند رانده می‌شوند و این اتصال با گرانش الکترواستاتیکی بین بارهای کاتیونی ذرات نانوامولسیون و بارهای آنیونی غشای خارجی میکروارگانیسم‌ها بهبود می‌یابد؛ از طرفی به دلیل افزایش نسبت سطح به حجم، فعل و انفعالات مولکولی با سطوح سلولی باکتری‌ها را تسهیل می‌کند. هنگامی که نانوامولسیون به پاتوژن متصل می‌شود، انرژی آن آزاد می‌شود. بنابراین غشای لیپیدی پاتوژن نایابدار شده و مرگ سلولی رخ می‌دهد (Pandey et al., 2024). مطالعات مختلفی اثرات ضدمیکروبی و آنتی‌اسیدانی عصاره‌ها و انسان‌های روغنی را نشان داده‌اند (Mutlu, 2023; Gholamhosseinpour et al., 2023; da Silva et al., 2023). ماهی سفید دریای خزر (*Rutilus frisii kutum*) متعلق به خانواده کپور ماهیان است. صرف نظر از اهمیت اقتصادی، تغذیه‌ای، حضور پروتئین‌های حیاتی، محتوی اسید چرب غیر اشباع بالا (خصوصاً ω۶ و ω۳)، پروفایل اسیدهای آمینه و لذیذ بودن گوشت این ماهی سبب شده که بسیار مورد استهانه بال مصرف کند و آبزیان (Hedayatifard et al., 2017) به دلیل حضور پروتئین بالا، pH خنثی، وجود آنزیم‌های اوتولیتیک و پتانسیل فساد شیمیایی بسیار کم است. بنابراین اینمی افزایش ارتقاء کیفیت و کنترل کیفی فرآورده آبزی جهت جلوگیری و کاهش دور ریز این محصول ذی قیمت مهم می‌باشد (Huss, 2007). از این رو در این مقاله ابتدا ویژگی‌های نانوامولسیون عصاره زرشک ارزیابی شد و سپس فعالیت ضدمیکروبی و آنتی‌اسیدانی نانوامولسیون‌های تهیه شده جهت پایداری اکسیداتیو و میکروبی فیله ماهی دریای خزر (*Rutilus frisii*)، به عنوان یک مدل غذایی با

تکرار شد. سوپرناتانت‌ها توسط اسپکتروفوتومتر در طول موج ۲۳۵ نانومتر برای تعیین غلظت عصاره زرشک ریزپوشانی شده جمع‌آوری گردید. درصد راندمان به دام افتادن به Ananingsih *et al.*, 2024:

$$\% \text{ Entrapment efficiency} = \frac{\text{Total extract added - free extract}}{\text{Total extract added}} \times 100$$

رابطه (1)

اندازه‌گیری محتوی فنل کل: ۲۵ میکرولیتر از نانو امولسیون عصاره با ۲۵ میکرولیتر معرف Folin-Ciocalteu در صد وزنی/وزنی) و ۲۰۰ میکرولیتر آب محلوت شد و به مدت ۵ دقیقه قبل از محلوت کردن ۲۵ میکرولیتر کربنات سدیم ۱۰ درصد انکوبه (شیماز- ایران) شد. مجدداً محلوت به مدت ۱ ساعت در دمای اتاق در تاریکی انکوبه شد و جذب -Shimatzo- (ژاپن) ثبت شد. نتایج به عنوان میلی‌گرم اسید گالیک (۰-۲۰۰ میکروگرم بر گرم) معادل در هر گرم نمونه (mg GAE/g) گزارش شد (Ali *et al.*, 2021).

اندازه‌گیری محتوی فلاونوئید: نانو امولسیون عصاره در یک تیوب ۸۰ میکرولیتری ریخته و پس از افزودن ۸۰ میکرولیتر محلول کلرید آلومینیوم (۲ درصد) و استات سدیم ۱۲۰ میکرولیتر (۵۰ گرم در لیتر) تکان داده شد. سپس محلوت واکنش به مدت ۲/۵ ساعت در دمای ۲۵ درجه سلسیوس در تاریکی نگهداری شد. جذب در طول موج ۴۴۰ نانومتر اندازه‌گیری و تمام نمونه‌ها در سه تکرار آنالیز شدند. منحنی استاندارد (۵۰-۰ میکروگرم در میلی‌لیتر کوئرستین) Suleria رسم شد و نتایج به صورت mg QE/g ارائه شد (et al., 2020).

پلی‌گلی سرول پلی‌ر سینولئات محلوت شد و سورفتانت بر روی همزن مغناطیسی با سرعت دورانی ۷۰۰ دور در دقیقه به آرامی به فاز آبی، به منظور تهیه پیش محلوت امولسیونی، اضافه شد. پیش محلوت امولسیونی تهیه شده به مدت ۲۰ دقیقه در حمام اولتراسونیک (Greatultrasonic, چین) با توان ۱۰۰۰ و ۴۰ کیلوهرتز برای تهیه نانو امولسیون‌ها قرار گرفتند (Fallah *et al.*, 2022). به این ترتیب نانو امولسیون مورد نظر تهیه شد.

شناسایی ترکیبات عصاره میوه زرشک با HPLC آنالیز HPLC با Beckman HPLC با پمپ مدل ۱۲۷ آشکار ساز UV مدل ۱۶۶ و سیستم عامل ۳۲ KARAT ۲۸۰ Sotware انجام شد. ترکیبات فنلی در طول موج نانومتر با سرعت کم ۱ میلی‌لیتر در دقیقه شناسایی شدند. کارکرد ستون دستگاه در دمای ۲۵ درجه سانتی گراد تنظیم شده بود. جداسازی در یک سیستم پمپاژ دوگانه با تغییر نسبت ۲/۵ درصد (v/v) اسید استیک در آب (فاز متحرک A) و ۷۰ درصد متانول در آب (فاز متحرک B) انجام شد. برنامه شستشوی گرادیان حلal به شرح زیر بود: ۱۰ تا ۲۶ درصد B در ۱۰ دقیقه، تا ۷۰ درصد B در ۲۰ دقیقه و در نهایت تا ۹۰ درصد B در ۲۵ تا ۳۱ دقیقه. حجم تزریق برای همه نمونه‌ها ۱۰۰ میکرولیتر بود. ترکیبات فنلی با تطبیق زمان ماند و ویژگی‌های طیفی آن‌ها با استانداردها آنالیز شدند (Och *et al.*, 2023).

اندازه‌گیری کارایی ریزپوشانی (EE)²: نانوامولسیون با سرعت ۱۲۰۰۰ دور در دقیقه به مدت ۱ ساعت اولتراسانتریفیوژ شد، مایع رویی جمع‌آوری و با بافر فسفات رقیق شد تا غلظت آزاد مربوط به عصاره زرشک محاسبه شود. نمونه‌ها مجدداً سانتریفیوژ شدند و فرآیند فوق سه بار

² Encapsulation Efficiency

دوره ۱۱ شماره ۴ زمستان ۱۴۰۳

¹ High-performance liquid chromatography

استاندارد Trolox در اتanol، ساخته شده در شرایط واکنش مشابه، برای تعیین کمیت کل فعالیت آنتی‌اکسیدانی استفاده شد (Ganesan and Shanmugam, 2020).

$$\text{I\%} = \frac{(\text{A control} - \text{A sample})}{\text{A control}} \times 100$$

رابطه (۳)

اندازه‌گیری فعالیت ضدمیکروبی:

تهییه سوپیازاسیون میکروبی: پاتوژن‌های / شریشیاکلی، سالمونلا انتریتیدیس، / ستافیلکوکوس اورئوس و لیستریا مونوسیتوژن برای آزمایش انتخاب شدند زیرا مهم‌ترین پاتوژن‌های مرتبط با بیماری‌های ناشی از غذا هستند. پاتوژن‌های مورد بررسی در مطالعه حاضر دو بار در محیط ۲۴ ساعت در دمای ۳۷ درجه سلسیوس انکوبه شدند. پس از این، کلنی‌های پاتوژن‌ها بر روی آگارهای انتخابی مختلف شامل EMB agar برای / شریشیاکلی، XLD برای سالمونلا انتریتیدیس، Listeria Oxford Agar برای لیستریا مونوسیتوژن و Baird Parker Agar همراه با تلوریت زرد و تخم مرغ برای / ستافیلکوکوس اورئوس جداساند و به لوله‌های آزمایش حاوی ۵ میلی‌لیتر محلول نمک استریل در ۰/۸۵ درصد (m/v) منتقل شدند. کدورت با محلول سولفات باریم استاندارد (استاندارد نیم مک فارلند برابر با غلظت log .da Silva et al., 2023) مقایسه شد (۸ CFU/mL). تعیین قطرهاله عدم رشد: برای تعیین فعالیت ضد میکروبی نانومولسیون عصاره در برابر باکتری‌های مورد بررسی، از روش دیسک دیفیوژن استفاده شد. دیسک‌ها به قطعات ۱۰ میلی‌متری برش شدند و پس از آغشته شدن به نانومولسیون‌ها (۰/۴ mg/ml، ۰/۸، ۱/۶، ۳/۲، ۶/۲۵، ۱۲/۵، ۵۰، ۲۵ و ۲۰۰ روی پلیت‌های Mueller Hinton

اندازه‌گیری توزیع اندازه‌ذرات: به منظور اندازه‌گیری میانگین قطر حجمی قطرات ابتدا همه نانو امولسیون‌ها به منظور جلوگیری از پراکنش متعدد ذرات^۱ با نسبت ۱ به ۵۰ رقیق شده و به وسیله دستگاه Malvern DLS^۲ اندازه قطرات در دمای ۲۵ °C نگهداری و با زاویه ۹۰ درجه مشخص گردید (Rezaei Savadkouhi et al., 2020).

اندازه‌گیری فعالیت آنتی‌اکسیدانی:

اندازه‌گیری فعالیت آنتی‌اکسیدانی به روش DPPH^۳: ۱ میلی‌لیتر عصاره با ۱ میلی‌لیتر DPPH ۰/۰۰۲ درصد متابول مخلوط گردید. بعد از انکوباسیون برای ۳۰ دقیقه در تاریکی در دمای اتاق، جذب در ۵۱۷ نانومتر خوانده شد. آسکوربیک اسید به عنوان کنترل مثبت استفاده شد و از فرمول زیر میزان فعالیت آنتی‌اکسیدانی ارزیابی بر اساس Ganesan and Shanmugam, (2020) و گزارش شد (μg/mL).

$$\text{I\%} = \frac{(\text{A control} - \text{A sample})}{\text{A control}} \times 100$$

رابطه (۴)

اندازه‌گیری فعالیت آنتی‌اکسیدانی به روش ATBS^۴: ۳۰ میکرولیتر از نمونه تهییه شده با متابول در ۳ میلی‌لیتر محلول رادیکال ABTS^{•+}، اضافه شد و جذب واکنش پس از ۶ دقیقه در طول موج ۷۳۴ نانومتر در دستگاه اسپکتروفوتومتر اندازه‌گیری شد. آب به عنوان نمونه بلانک واکنش استفاده شد. محلول رادیکال ABTS^{•+} از واکنش بین ۵ میلی‌لیتر محلول ذخیره ABTS (7 mmol/L) و ۸۸ میکرولیتر پر سولفات پتا سیم (140 mmol/L) تهییه شد که هر دو در آب مقطر تهییه شده بودند. مخلوط به مدت ۱۶ ساعت در تاریکی در دمای اتاق نگهداری شد. این محلول با اتanol تا جذب ۰/۷ در ۷۳۴ نانومتر رقیق شد. یک منحنی

³ DPPH (2,2-diphenyl-1-picrylhydrazyl)

دوره ۱۱ شماره ۴ زمستان ۱۴۰۳

¹ Multiple Scattering

² Dynamic light scattering

ماهیان تازه در داخل جعبه‌های یونولیت همراه با یخ قرار داده شد و طی مدت ۶ ساعت به آزمایشگاه منتقل گردید. به منظور جداسازی مواد زائد خارجی از سطح بدن ماهیان، شستشوی آن‌ها با آب شیرین انجام پذیرفت. پس از سرزنشی، تخلیه شکمی و فیله نمودن ماهیان مجدداً شسته شدند. فیله‌ها به وزن ۵۰ گرم تهیه شدند. جهت تهیه تیمارها، ابتدا نمونه‌های فیله ماهی در محلول پو شش‌دهی (نانومولسیوون) به مدت ۳۰ ثانیه غوطه‌ور شدند. نهایتاً، در زیر هود قرار داده شده تا خشک شدند. سپس هر قطعه فیله به طور جداگانه در یک ظرف پلی اتیلن استریل شده به وسیله اشعه UV قرار داده شده و در یخچال با دمای 4 ± 1 درجه سلسیوس به مدت ۹ روز نگهداری شدند (Mezhoudi *et al.*, 2022).

آزمون پایداری اکسیداتیو: اکسیداسیون لیپید (ماده واکنش دهنده با اسید تیوباربیتوریک) نمونه‌ها به روش کالریمتریک (Efendi *et al.*, 2023) و اکسیداسیون پروتئین (اکسیداسیون پروتئین با واکنش بین گروه‌های کربونیل و هیدرازون‌های پروتئینی تشکیل دهنده دنی تروفنیل هیدرازین) نمونه‌ها به روش جذب در طول موج ۲۸۰ نانومتر (Monteiro *et al.*, 2020) و تشکیل ترکیبات ازت فرار به روش تیتراسیون با اسید سولفوریک نرمال (Mehrabi *et al.*, 2024) به مدت ۹ روز (روز ۰، ۱، ۲، ۳، ۶ و ۹) تعیین شد.

آزمون میکروبی: پس از آماده‌سازی سوسپانسیون فیله‌های ماهی، باکتری‌های کل سایکروتروف در محیط کشت Nutrient agar سلسیوس به مدت ۱۰ روز (ISIRI, 2024)، باکتری‌های کل مزو菲尔 در محیط کشت Nutrient agar (گرمخانه‌گذاری در دمای ۳۷ درجه سلسیوس به مدت ۴۸-۲۴ ساعت)

که قبلًا با کلیه‌های 10^8 CFU/ml ۱/۵ × پاتوژن‌ها آغشته شده بود، قرار داده شدند و سپس در دمای ۳۷ درجه سلسیوس به مدت ۲۴ ساعت گرمخانه‌گذاری شد (Ansarifar and Moradinezhad, 2022).

تعیین حداقل غلظت مهارکنندگی (MIC)^۱ و **حداقل غلظت کشندگی (MBC)^۲:** برای هر پاتوژن به روش میکرودیلوشن تعیین شد. برای این منظور، عصاره نانومولسیوون عصاره در محلول ۴ درصد دی متیل سولفوكسید^۳ رقیق و سپس ۱۰۰ میکرولیتر از هر رقت درون ۱۰ لوله آزمایش در غلظت‌های (ml mg/ml ۰/۱۹، ۰/۳۹، ۰/۷۸، ۰/۵۶، ۱۰۰ و ۵۰) ریخته شد. ۱۰۰ میکرولیتر از سوسپانسیون میکروبی به طور جداگانه تلقیح شد. سپس پلیت‌های چندخانه به دقت مخلوط و به مدت ۲۴ ساعت در دمای ۳۷ درجه سلسیوس گرمخانه‌گذاری (شیماز - ایران) شدند. پایین‌ترین غلظت مهار رشد میکروارگانیسم‌ها به عنوان MIC گزارش شد. جهت تعیین میزان MBC، از هر چاهک به کمک سمپلر ۱۰۰ میکرولیتر برداشته و روی محیط Mueller Hinton Agar کشت داده شد و در دمای ۳۷ درجه سلسیوس به مدت ۲۴ ساعت گرمخانه‌گذاری انجام شد. پایین‌ترین غلظت کشندگی کامل میکروارگانیسم‌ها (کاهش ۹۹/۹ درصدی در Log CFU/ml) به عنوان MBC گزارش شد (El Hamdaoui *et al.*, 2018).

تهیه فیله ماهی و پو شش‌دهی با نانومولسیوون عصاره زر شک: تعداد ۵ عدد ماهی سفید از بازار بندر انزلی از بین ماهی‌های صید شده، بطور تصادفی خریداری شد. سپس

^۱ Dimethyl sulfoxide

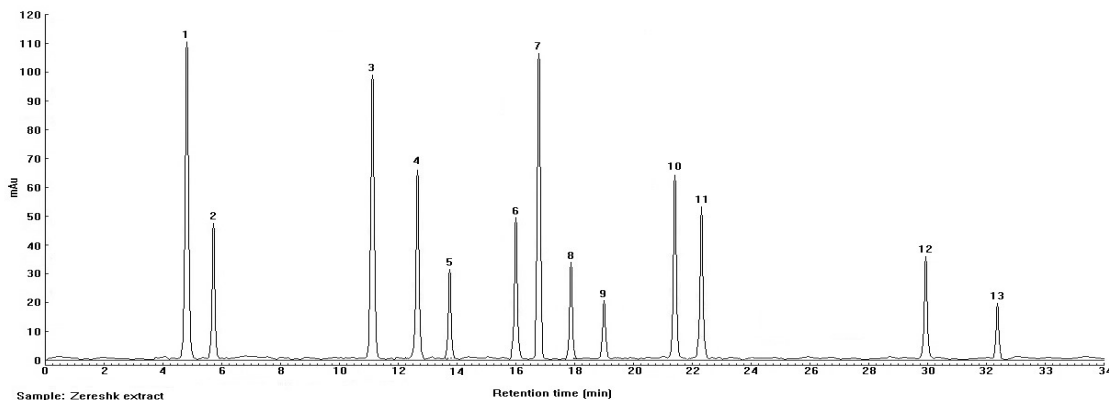
(در مواردی که اثر کلی تیمارها معنی‌دار باشد) با استفاده از آزمون تعیبی چند دامنه‌ای دانکن تعیین شد. نتایج آزمون‌های آماری به دست آمده با استفاده از نرم افزار SPSS نسخه ۲۶ انجام شد. سطح معنی‌داری $p \leq 0.05$ برای مقایسه داده‌ها در نظر گرفته شد.

نتایج

نتایج بررسی ترکیبات فنلی موجود در عصاره زرشک استخراج شده با HPLC در شکل ۱ نشان داده شده است. در مجموع ۱۳ ترکیب در عصاره زرشک شناسایی شد.

(ISIRI, 2015)، و باکتری‌های انتروباکتریاسه در محیط کشت Violet Red Bile Lactose Agar (گرمخانه‌گذاری در دمای ۳۷ درجه سلسیوس به مدت ۲۴ ساعت) در دمای ۳۷ درجه سلسیوس به مدت ۹ روز (روز ۰، ۳، ۶ و ۹) انجام شد.

تجزیه و تحلیل آماری: نتایج به دست آمده در آزمایشات، برای داده‌های تجربی (آزمایشی) به صورت میانگین \pm انحراف معیار در سه بار تکرار بیان شدند. داده‌های آزمایشات با تجزیه و تحلیل واریانس یکطرفه (One-way ANOVA) مقایسه و تفاوت‌های معنی‌دار آماری بین میانگین‌ها

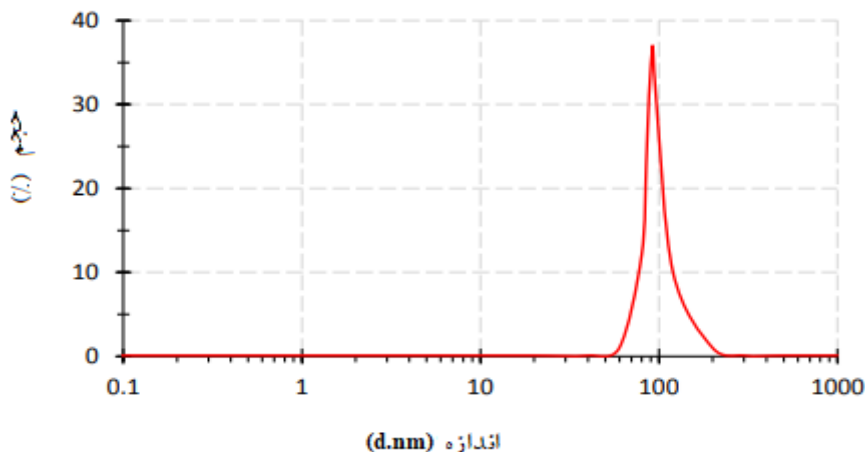


شکل ۱- ترکیبات فنلی شناسایی شده در عصاره زرشک با HPLC

جدول ۱- ترکیبات شناسایی شده و فراوانی آنها در عصاره زرشک با HPLC

ترکیب شناسایی شده ($\mu\text{m}/\text{g}$)	فراوانی ($\mu\text{m}/\text{g}$)	ترکیب شناسایی شده ($\mu\text{m}/\text{g}$)	فراوانی ($\mu\text{m}/\text{g}$)
۳/۲۰	گالیک اسید	۸/۳۱	اسید کلوروژنیک
۲/۵۸	کامفرول	۷/۷۲	ایپی کاتچین گالات
۲/۲۶	اسید فولیک	۶/۶۰	کاتچین هیدرات
۱/۹۵	اسید کافتیک	۴/۳۳	بروتوكاتکوبیک اسید
۱/۶۳	ایزورامنتین	۴/۱۴	کوئرستین
۱/۵۵	ترانس اسید سینامیک	۳/۶۶	میریستین
		۳/۴۵	اسید p-کوماریک

نتایج میانگین قطر ذرات (شکل ۲) نشان داد یک پیک با پنهانی ۳۱ نانومتر مشاهده شد. میانگین اندازه ذرات نانومولسیون‌ها ۹۲ نانومتر با PDI برابر ۰/۳۴۵ گزارش شد.



شکل ۲- توزیع اندازه ذرات نانومولسیون‌ها

نانومولسیون بالاتر بود ($p<0.05$). همچنین فعالیت آنتیاکسیدانی نیز نشان دهنده فعالیت آنتیاکسیدانی بالاتر در فرم آزاد عصاره بود ($p<0.05$).

در این مطالعه میزان کارائی ریزپوشانی عصاره زرشک برابر با ۸۷ درصد بود. نتایج محتوی فنل و فلاونوئید نانومولسیون عصاره زرشک در مقایسه با فرم آزاد (جدول ۲) نشان داد محتوی فنل و فلاونوئید در عصاره زرشک بطور معناداری از

جدول ۲- میانگین نتایج محتوی فنلی، فلاونوئیدی و آنتیاکسیدانی نانومولسیون عصاره زرشک و عصاره آزاد

تیمار	فنل	(mg/g)	فلاونوئید	(mg/g)	DPPH (mg/g)	ATBS (mg/g)
عصاره زرشک	۴۳/۲۶ ± ۰/۳۶ ^a	۲۴/۵۸ ± ۱/۰۲ ^a	۰/۰۲ ± ۰/۰۰ ^b			
نانومولسیون عصاره زرشک	۹/۱۹ ± ۰/۰۱ ^b	۲/۹۷ ± ۰/۰۵ ^b	۲/۱۴ ± ۰/۰۷ ^a	۲/۱۰ ± ۰/۰۲ ^a	۰/۰۲ ± ۰/۰۰ ^b	۰/۰۲ ± ۰/۰۰ ^b

*حروف کوچک متفاوت نشانگر اختلاف معنی‌دار در هر ستون می‌باشد ($p<0.05$).

نانومولسیون‌ها فعالیت ضدمیکروبی کمتری نسبت به عصاره نشان دادند ($p<0.05$). همچنین نتایج نشان داد باکتری‌های گرم مثبت حساسیت بیشتری نسبت عصاره و نانومولسیون داشتند ($p<0.05$). مقاومترین و حساس‌ترین پاتوژن‌ها

نتایج فعالیت ضدمیکروبی نانومولسیون عصاره زرشک در مقایسه با عصاره (جدول ۳) در برابر گونه‌های گرم مثبت (آستافیلوکوکوس/ورئوس و لیستریامنوسیتوژن) و گونه‌های گرم منفی (شریشیاکلی و سالمونلا/انتریتیدیس) نشان داد

¹ polydispersity index

نسبت به عصاره و نانومولسیون عصاره زرشک به ترتیب
مربوط به استافیلکوکوس اورئوس و سالمونلا انتریتیدیس
. (p<0.05)

جدول ۲- میانگین نتایج ضدمیکروبی (log cfu/ml) نانومولسیون عصاره زرشک و عصاره

تیمار	MIC (mg/ml)	نامولسیون عصاره زرشک	عصاره زرشک	سالمونلا انتریتیدیس	استافیلکوکوس اورئوس	آشريشیاکلی	لیستریا مونوسیتوفیزنز	سالمونلا انتریتیدیس	استافیلکوکوس اورئوس
عصاره زرشک		۱۲/۵۰ ± ۰/۰۰ ^a	۱۰/۴۱ ± ۰/۰۵ ^a	۱۲/۵۰ ± ۰/۰۰ ^a	۱۲/۵۰ ± ۰/۰۰ ^a	۱۲/۵۰ ± ۰/۰۰ ^a	۱۰/۴۱ ± ۰/۰۵ ^a	۶/۲۵ ± ۲/۹۴ ^b	۱۲/۵۰ ± ۰/۰۰ ^a
نامولسیون عصاره زرشک		۱۰/۴۱ ± ۲/۹۴ ^a	۵۰/۰۰ ± ۰/۰۰ ^a	۱۲/۵۰ ± ۰/۰۰ ^a	۱۲/۵۰ ± ۰/۰۰ ^a	۱۲/۵۰ ± ۰/۰۰ ^a	۸/۳۳ ± ۲/۹۴ ^a	۶/۲۵ ± ۲/۹۴ ^b	۱۰/۴۱ ± ۲/۹۴ ^a
عصاره زرشک	MBC (mg/ml)	۱۰/۴۱ ± ۲/۹۴ ^a	۲۵/۰۰ ± ۰/۰۰ ^b	۸/۳۳ ± ۱/۰۲ ^b	۱۰/۴۱ ± ۲/۹۴ ^a	۱۰/۴۱ ± ۰/۰۰ ^a	۸/۳۳ ± ۲/۹۴ ^b	۲۵/۰۰ ± ۰/۰۰ ^b	۱۰/۴۱ ± ۲/۹۴ ^a
عصاره زرشک	MBC (mg/ml)	۱۰/۰۵ ± ۱/۱۸ ^a	۱۱/۶۴ ± ۱/۱۵ ^a	۱۰/۰۵ ± ۱/۱۸ ^a	۱۰/۰۵ ± ۱/۱۱ ^b	۱۰/۰۵ ± ۱/۱۸ ^a	۱۲/۶۶ ± ۱/۳۱ ^a	۱۰/۶۴ ± ۲/۰۲ ^a	۱۲/۶۶ ± ۱/۳۱ ^a
نامولسیون عصاره زرشک	D _{۵۰} عدم (mm)	۷/۲۷ ± ۱/۰۵ ^b	۱۰/۸۱ ± ۱/۰۵ ^b	۱۰/۸۱ ± ۱/۰۵ ^b	۴/۹۱ ± ۱/۱۱ ^b	۱۰/۰۵ ± ۱/۱۸ ^a	۶/۶۶ ± ۱/۰۵ ^b	۱۰/۶۴ ± ۲/۰۲ ^a	۱۲/۶۶ ± ۱/۳۱ ^a

*حروف کوچک متفاوت نشانگر اختلاف معنی دار در هر ستون می باشد (p<0.05).

مشاهده شد (p<0.05). نتایج نشان داد اکسیداسیون لیپید
وابسته به تیمارهای پوشش دهنده بود (p<0.05).
محتوی کربونیل (اکسیداسیون پروتئین نشان داده شده در
جدول ۳) رفتار مشابهی با اکسیداسیون لیپید با در نظر گرفتن
دوره نگهداری و تفاوت بین تمام تیمارها بود (p<0.05).
پوشش دهنی با نانومولسیون عصاره زرشک بطور معناداری روند
اکسیداسیون پروتئین نمونه های فیله ماهی را کاهش داد
(p<0.05).

نتایج اکسیداسیون چربی نمونه های فیله ماهی
پوشش دهنی شده با نانومولسیون عصاره زرشک در مقایسه با
عصاره (جدول ۳) نشان داد در روز اول اختلاف آماری
معناداری بین تیمارهای مختلف مشاهده نشد (p>0.05). با
این حال از روز سوم اختلاف آماری معنادار بین تیمارهای
پوشش دهنی شده با نمونه شاهد مشاهده شد (p<0.05).
همچنین نتایج نشان داد طی ۹ روز نگهداری روند افزایشی
معنادار اکسیداسیون لیپید در همه گروه های مورد بررسی

جدول ۳- میانگین نتایج پایداری اکسیداتیو نمونه های فیله ماهی پوشش دهنی شده با عصاره و نانومولسیون عصاره زرشک

تیمار	آکسیداسیون لیپید (mg MAL/Kg)	آکسیداسیون پروتئین (nmol)	روز صفر	روز سوم	روز ششم	روز نهم
C0			۰/۱۱ ± ۰/۰۰ ^{Aa}	۰/۲۳ ± ۱/۰۲ ^{Ba}	۰/۵۶ ± ۰/۰۴ ^{Ca}	۰/۸۷ ± ۰/۰۱ ^{Da}
T1			۰/۱۲ ± ۰/۰۰ ^{Aa}	۰/۱۹ ± ۰/۰۰ ^{Bb}	۰/۴۵ ± ۰/۰۲ ^{Cb}	۰/۷۱ ± ۰/۰۱ ^{Db}
T2			۰/۱۱ ± ۰/۰۰ ^{Aa}	۰/۱۳ ± ۰/۰۰ ^{Bb}	۰/۳۰ ± ۰/۰۰ ^{Cc}	۰/۶۰ ± ۰/۰۲ ^{cD}
C0			۱/۳۳ ± ۰/۱۷ ^{Aa}	۳/۳۴ ± ۰/۲۴ ^{Ba}	۴/۴۶ ± ۰/۲۱ ^{Ca}	۵/۱۶ ± ۰/۹۴ ^b
T1			۱/۳۰ ± ۰/۱۴ ^{Aa}	۲/۴۸ ± ۰/۱۹ ^{Bb}	۲/۸۴ ± ۰/۱۳ ^{Cb}	۳/۳۴ ± ۰/۲۸ ^b

۲/۵۳ ± ۰/۳۴^b۲/۰۶ ± ۰/۱۲^{Cb}۱/۸۴ ± ۰/۱۴^{Bb}۱/۳۰ ± ۰/۱۲^{Aa}

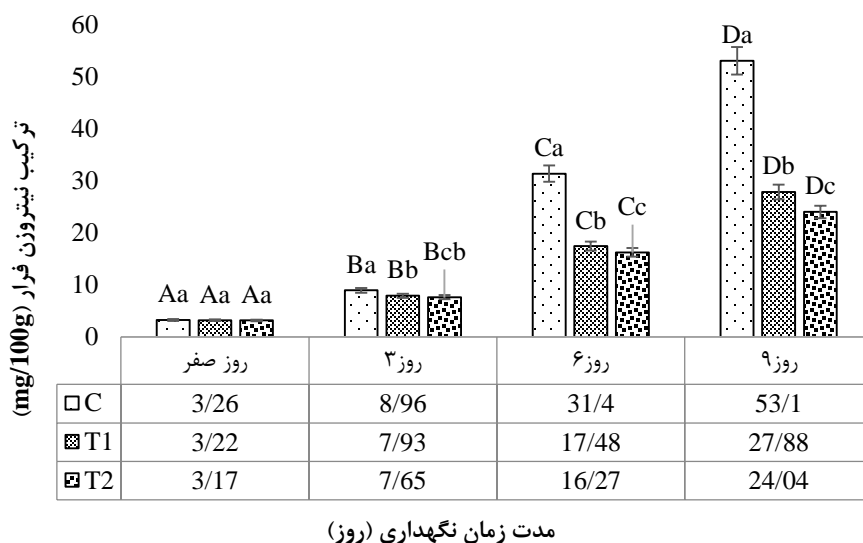
T2

Co*: نمونه شاهد/ T1: نمونه پوشش داده شده با عصاره زرشک/ T2: نمونه پوشش داده شده با نانومولسیون عصاره زرشک

*حروف کوچک متفاوت نشانگر اختلاف معنی دار در هر ستون می باشد ($p < 0.05$).*حروف بزرگ متفاوت نشانگر اختلاف معنی دار در هر سطر می باشد ($p < 0.05$).

معنادار تشکیل ترکیبات ازت فرار در همه گروه های مورد بررسی مشاهده شد ($p < 0.05$). افزایش سریع تشکیل ترکیبات ازت فرار در نمونه شاهد (تیمار C) مشاهده شد که به مقدار $53/10 \text{ mg}/100\text{g}$ در روز ۹ نگهداری رسید. بطور کلی استفاده از عصاره و نانومولسیون عصاره زرشک سبب کاهش معنی دار افزایش این پارامتر شد ($p < 0.05$).

نتایج تشکیل ترکیبات ازت فرار در نمونه های فیله ماهی پوشش دهی شده با نانومولسیون عصاره زرشک در مقایسه با عصاره (شکل ۳) نشان داد در روز اول اختلاف آماری معناداری بین تیمارهای مختلف مشاهده نشد ($p > 0.05$). با این حال از روز سوم اختلاف آماری معنادار بین تیمارهای پوشش دهی شده با نمونه شاهد م مشاهده شد ($p < 0.05$). همچنین نتایج نشان داد طی ۹ روز نگهداری روند افزایشی



شکل ۳- میانگین نتایج تغییرات تشکیل ترکیبات ازت فرار نمونه فیله های ماهی طی ۹ روز

Co*: نمونه شاهد/ T1: نمونه پوشش داده شده با عصاره زرشک/ T2: نمونه پوشش داده شده با نانومولسیون عصاره زرشک

*حروف کوچک متفاوت نشانگر اختلاف معنی دار در هر ستون می باشد ($p < 0.05$).*حروف بزرگ متفاوت نشانگر اختلاف معنی دار در هر سطر می باشد ($p < 0.05$).

نتایج باکتری‌های مزوپلی (جدول ۴) نیز روند افزایشی را نشان داد در روز اول اختلاف آماری معنادار (میانگین Log $3/34$ cfu/g) بین گروه‌های مورد بررسی مشاهده نشد ($p>0.05$). همچنین روند افزایش معنادار در تمام گروه‌های مورد بررسی گزارش شد ($p<0.05$). مطابق نتایج استفاده از عصاره و نانومولسیون عصاره زرشک بطور معنادار روند افزایشی باکتری‌های مزوپلی را مهار کرد ($p<0.05$). بررسی نتایج باکتری‌های انتروباکتریا سه نشان دهنده روند مشابه باکتری‌های مزوپلی و سایکروپلوف (جدول ۴) بود و نتایج نشان داد استفاده از عصاره و نانومولسیون عصاره زرشک بطورمعناداری سبب کاهش آلودگی باکتری‌های انتروباکتری باشد در نمونه فیله ماهی شدند ($p<0.05$).

نتایج بار میکروبی نمونه‌های فیله ماهی پو شش‌دهی شده با نانومولسیون عصاره زرشک در مقایسه با عصاره (جدول ۴) نشان داده شده است. نتایج باکتری‌های سایکروپلوف فیله‌های ماهی نشان دهنده اختلاف معنادار در بین تیمارهای مختلف بود ($p<0.05$). در بین گروه‌های مختلف در روز اول، از نظر میزان جمعیت باکتری سایکروپلوف در گروه‌های مختلف تحقیق (میانگین Log cfu/g $3/14$) اختلاف معنی‌دار وجود نداشت ($p>0.05$). در صورتیکه از روز 3 تا روز 9 روند افزایشی مستمر در جمعیت باکتری‌های مورد بررسی در تیمارهای تحقیق گزارش شد ($p<0.05$). با توجه به نتایج نمونه‌های فیله ماهی پوشش داده شده با نانومولسیون عصاره زرشک (تیمار T3) کمترین روند افزایش میزان باکتری‌های سرمادوست را داشتند ($p<0.05$).

جدول ۴- میانگین نتایج میکروبی نمونه‌های فیله ماهی پوشش‌دهی شده با عصاره آزاد و نانومولسیون عصاره زرشک

تیمار	روز صفر	روز سوم	روز ششم	روز نهم
C ₀	$3/14 \pm 0/01$ Aa	$3/38 \pm 0/00$ Ba	$5/34 \pm 0/01$ Ca	$7/87 \pm 0/01$ Da
T ₁	$3/15 \pm 0/02$ Aa	$3/30 \pm 0/01$ Bb	$4/23 \pm 0/02$ Cb	$5/71 \pm 0/01$ Db
T ₂	$3/15 \pm 0/02$ Aa	$3/21 \pm 0/01$ Bb	$3/84 \pm 0/04$ Cc	$4/61 \pm 0/02$ Cd
C ₀	$3/34 \pm 0/01$ Aa	$4/39 \pm 0/00$ Ba	$6/28 \pm 0/01$ Ca	$9/07 \pm 0/04$ Db
T ₁	$3/35 \pm 0/01$ Aa	$4/28 \pm 0/01$ Bb	$5/34 \pm 0/13$ Cb	$7/20 \pm 0/08$ Db
T ₂	$3/34 \pm 0/01$ Aa	$4/21 \pm 0/01$ Bb	$5/15 \pm 0/12$ Cb	$6/34 \pm 0/01$ Cc
C ₀	$2/54 \pm 0/09$ Aa	$4/18 \pm 0/02$ Ba	$4/31 \pm 0/01$ Ca	$6/35 \pm 0/04$ b
T ₁	$2/38 \pm 0/13$ Aa	$3/06 \pm 0/03$ Bb	$3/84 \pm 0/22$ Cb	$5/81 \pm 0/02$ b
T ₂	$2/34 \pm 0/08$ Aa	$2/54 \pm 0/03$ Bb	$2/40 \pm 0/07$ Cb	$4/23 \pm 0/03$ b

*Co: نمونه شاهد/ T1: نمونه پوشش داده شده با عصاره زرشک/ T2: نمونه پوشش داده شده با نانومولسیون عصاره زرشک

*حروف کوچک متفاوت نشانگر اختلاف معنی‌دار در هر سطون می‌باشد ($p<0.05$).

*حروف بزرگ متفاوت نشانگر اختلاف معنی‌دار در هر سطر می‌باشد ($p<0.05$).

بحث

نشان داده است که نوع، میزان ترکیبات و مواد مؤثره موجود در انسس و عصاره گیاهان تابع موقعیت جغرافیایی، تغییرات فصلی، فاز رویشی یا زایشی گیاه است (Al-Askar *et al.*, 2023).

اندازه ذرات بر حسب نانومتر، مقدار آن‌ها بر حسب درصد همچنین پیک منتخب نانومولسیون در شکل ۲ ارائه شده‌اند. مقدار شاخص چند پراکنده‌گی (PDI) برابر با 0.345 ± 0.024 گزارش شد. PDI نشان دهنده همگنی اندازه قطرات در نانومولسیون است. مقدار پراکنده‌گی بالاتر، نشان دهنده یکنواختی کمتر اندازه قطرات نانومولسیون است (Parseghian *et al.*, 2023). در این مطالعه میزان PDI نانومولسیون بدست آمده مقدار پایینی داشت که نشان دهنده پایداری کلی و همگنی خوب آن می‌باشد. ریز بودن اندازه قطرات و ویژگی‌های منحصر به فرد نانومولسیون‌ها مزیت‌هایی برای استفاده از آن‌ها را در بسیاری از فناوری‌های کاربردی ایجاد نموده و منجر به طولانی‌تر شدن دوره پایداری فیزیکی آن‌ها گردیده است. به واسطه ریز بودن قطرات، سطح ویژه نانومولسیون‌ها زیاد شده، قابلیت نفوذ آنها افزایش می‌یابد و این ویژگی آن‌ها را به یک سامانه انتقالی مؤثر تبدیل کرده است (Parseghian *et al.*, 2023) و همکاران (Afroozandeh, 2023) طی بررسی توزیع اندازه ذارت دو گونه بربین (ترکیب آلکالوئیدی عصاره زرشک) کنزوگه با پلی‌اتیلن گلیکول و دی‌اتیلن گلیکول مونو متیل اتر نشان دادند توزیع اندازه ذرات به ترتیب برابر با 0.108 ± 0.021 نانومتر (PDI = 0.955 ± 0.215) و 0.091 ± 0.029 نانومتر (PDI = 0.215 ± 0.010) بود. این محققان همگن با پایداری و پراکنده‌گی مناسب نانومولسیون‌ها را تأیید کردند. گیاهان منابع غنی آنتی‌اکسیدان‌های طبیعی هستند. در میان ترکیبات زیست فعال موجود در گیاهان، فنل‌ها از

مطالعات نشان داده که عصاره میوه زرشک حاوی فیتوکمیکال‌هایی مانند ترکیبات آنتی‌اکسیدانی، ترکیبات فنولی، آلکالوئیدی و آنتو‌سیانین است (Homayoonfal *et al.*, 2021). در این مطالعه طی بررسی ترکیبات فنلی (شکل ۱) عصاره میوه زرشک، سیزده ترکیب فنولی به ترتیب فراوانی شامل اسید کلروژنیک ($8.31 \mu\text{m/g}$)، اپی‌کاتچین گالات ($7.72 \mu\text{m/g}$)، کاتچین هیدرات ($6.60 \mu\text{m/g}$)، پروتوکاتکویک اسید ($4.33 \mu\text{m/g}$)، کوئرستین ($4.14 \mu\text{m/g}$)، میریستین ($3.66 \mu\text{m/g}$)، اسید-p-کوماریک ($3.45 \mu\text{m/g}$)، گالیک اسید ($3.20 \mu\text{m/g}$)، کامفروл ($2.58 \mu\text{m/g}$)، اسید فولیک ($2.26 \mu\text{m/g}$)، کافئیک ($1.95 \mu\text{m/g}$)، ایزورامنتین ($1.63 \mu\text{m/g}$) و ترانس اسید سینامیک ($1.55 \mu\text{m/g}$) شناسایی شد. Bhardwaj و همکاران (۲۰۲۳) طی بررسی ترکیبات عصاره زرشک در مجموع ۳۳ ترکیب شناسایی کردند. همچنین آنها گزارش کردند در میان اجزای شناسایی شده پلی‌فنل‌ها، فلاونوئیدها (آگلیکون‌ها و گلوکوزیدها)، مشتقان اسیدهای بنزوئیک و سینامیک بالاترین غلظت را داشتند. همچنین وجود اسیدهای فنولیک ساده مانند گالیک اسید، اسید وانیلیک، اسیدهای کلروژنیک، اسید هیدروکسی بنزوئیک، اسید El-Frolilik یا کافئیک اسید در عصاره زرشک گزارش شد. Zahar و همکاران (۲۰۲۲) طی بررسی ترکیبات عصاره زرشک اسید گالیک، بربین، اسید کلروژنیک، اسید وانیلیک، اسید کافئیک، اسید سیرینجیک، روتین، اسید-p-کوماریک، کاتچین، میریستین و کامفرول در غلظت‌های بالا یافت شد. تفاوت در ترکیبات شناسایی شده در این مطالعه و مطالعات انجام شده تأثیر شرایط جغرافیایی را تأیید می‌کند. مطالعات

¹ polydispersity index

مهر رادیکال‌های آزاد افزایش می‌دهد. در واقع خاصیت آنتی‌اکسیدانی آنها به رهایش مواد فرار از فاز درونی به فاز El-Sayed and El-Sayed, 2021).

بر اساس نتایج جدول ۲ عصاره و نانومولسیون عصاره زرشک فعالیت ضد میکروبی بر روی هر دو باکتری‌های گرم مثبت (استافیلوکوکوس اورئوس و لیستریامنوسیتوژن) و باکتری‌های گرم منفی (شریشیاکلی و سالمونلا انتریتیدیس) نشان دادند. نتایج نشان داد باکتری‌های گرم مثبت نسبت به هر دو فرم عصاره و نانومولسیون عصاره حساسیت بالاتری داشتند. حساسیت‌ترین و مقاوم‌ترین پاتوژن‌ها نسبت به عصاره و نانومولسیون عصاره زرشک به ترتیب/ استافیلوکوکوس اورئوس و سالمونلا انتریتیدیس بود. تفاوت بین دیواره سلولی باکتری‌های گرم مثبت و گرم منفی دلیل مقاومت بیشتر باکتری‌های گرم منفی نسبت به باکتری‌های گرم مثبت است. باکتری‌های گرم مثبت فقط یک لایه پپتیدوگلیکان در دیواره سلولی خود دارند. در مقابل، علاوه بر این لا یه پپتیدوگلیکان داخلی، باکتری‌های گرم منفی دارای یک لایه خارجی متتشکل از لیپوپروتئین، فسفوپروتئین و پروتئین نیز هستند که باعث کاهش نفوذ آنتی‌بیوتیک‌ها و اثر مواد ضد میکروبی نظریه عصاره بر روی باکتری‌های گرم منفی می‌شود (Mollaei et al., 2010). همچنین، به دلیل وجود گروه‌های شیمیایی مختلف، اثر ضد میکروبی یک عصاره را نمی‌توان به یک مکانیسم مشخص نسبت داد. مطالعات نشان داده که ترکیبات فلی که به وفور در عصاره وجود دارند، از طریق مکانیسم‌های مختلفی از جمله تغییر در انتشار سلول میکروبی، تداخل با عوامل غشایی (مانند انتقال الکترون و از دست دادن مواد مغذی)، تداخل در سنتز پروتئین و اسید نوکلئیک و فعالیت آنزیمی، برهمکنش بر روی پروتئین‌های غشایی و جایگزینی آلکیل با هسته فلی در امر ضد میکروبی

اهمیت ویژه‌ای برخوردار هستند زیرا تمام گروه‌های پلی فل (فنولیک، فلاونوئید و پرو-آنتوسیانیدین) ظرفیت ساختاری از بین بدن رادیکال‌های آزاد را دارند (Omar et al., 2023). جدول ۳ محتوی ترکیبات فنولی و خاصیت آنتی‌اکسیدانی نانومولسیون عصاره زرشک در مقایسه با عصاره را نشان می‌دهد. مطابق با نتایج اختلاف آماری معنی داری بین محتوی فنولی عصاره ($43/26 \text{ mg/g}$) و نانومولسیون ($9/19 \text{ mg/g}$) گزارش شد ($P < 0.05$). همچنین تست‌های ABTS و DPPH روش‌های گستردگی برای ارزیابی ظرفیت آنتی‌اکسیدانی محصولات طبیعی هستند. هر دو روش اسپکتروفوتومتری مبتنی بر مهار رادیکال‌های رنگی پایدار (DPPH یا ABTS) هستند و توانایی مهار آنتی‌اکسیدان‌ها را حتی در صورت وجود در مخلوط‌های بیولوژیکی پیچیده مانند عصاره‌های گیاهی یا غذایی نشان می‌دهند. اصل این آزمایش‌ها این است که آنتی‌اکسیدان‌ها می‌توانند اتم‌ها یا الکترون‌های هیدروژن را به رادیکال‌ها اهدا کنند و آن‌ها را به شکل پایدار خود کاهش دهند. درجه کاهش رادیکال با کاهش جذب در یک طول موج خاص اندازه‌گیری می‌شود (Omar et al., 2023). خاصیت آنتی‌اکسیدانی به روش DPPH در عصاره و نانومولسیون عصاره زرشک به ترتیب $2/14 \text{ mg/g}$ و $2/10 \text{ mg/g}$ می‌شود. نتایج بدست آمده قابل انتظار بود زیرا محتوی ترکیبات فنولی در عصاره بالاتر بود، افزایش غلظت ترکیبات فنولی بطور مستقیم میزان توانایی نمونه‌های مختلف را در افزایش غلظت ترکیبات فنولی بطور مستقیم میزان توانایی نمونه‌های مختلف را در هرگونه ترکیبات فنولیک می‌باشد. افزایش غلظت ترکیبات فنولی بطور مستقیم میزان توانایی نمونه‌های مختلف را در

T1 و T2) رسید. با این حال، نمونه‌های پوشش‌دهی شده با عصاره زرشک عدد تیوباربیتوریک اسید با کمتری نسبت به نمونه شاهد داشتند. سطح قابل قبول تیوباربیتوریک اسید $mg\text{ MAD/Kg}$ ۰/۴۵ است (Maghami *et al.*, 2019). بر این اساس، نمونه‌های پوشش‌دهی شده با عصاره و نانومولسیون عصاره طی شش روز سطح قابل قبولی از تیوباربیتوریک اسید را نشان دادند. فرآورده‌های اولیه اکسیدا سیون چربی‌ها، هیدروپروکسیدها هستند که ترکیباتی نایدارند و نقشی در طعم نامطلوب ماهی ندارند؛ اما در مرحله دوم اتواکسیداسیون، که هیدروپراکسیدها به آلدھید و کتون اکسیده می‌شوند، مالون دی آلدھید تشکیل می‌شود که طعم و بوی نامطلوب در محصول ایجاد می‌کند (Idumah *et al.*, 2020). حملات اکسیژن علیه پیوند دوگانه در اسیدهای چرب غیر اشباع مانند دوکوزاهگزانوئیک اسید و ایکوزاپنتانوئیک اسید می‌تواند باعث شروع واکنش‌های زنجیره‌ای رادیکال آزاد در اکسیداسیون لیپید شود. روند افزایشی کنتر شاخص تیوباربیتوریک اسید فیله‌های پوشش‌دهی شده با عصاره و نانومولسیون عصاره زرشک در مقایسه با تیمار شاهد ممکن است مرتبط با ویژگی‌های شناخته شده و مستند شده عالی ممانعت از تبادل اکسیژن پوشش‌ها باشد (Nguyen *et al.*, 2021). همچنین، اعتقاد بر این است که مقدار شاخص تیوباربیتوریک اسید پایین در نمونه‌های پوشش‌دهی شده با عصاره و نانومولسیون عصاره زرشک به دلیل محتوای فنلی موجود در عصاره زرشک باشد. مطالعات نشان داده که آنتی‌اکسیدان‌ها می‌توانند پراکسیداسیون لیپیدی را با این بردن رادیکال‌های آزاد، قطع واکنش‌های زنجیره‌ای، شکستن پراکسیدها، کاهش غلظت موضعی اکسیژن و اتصال به کاتالیزور‌های آغازگر زنجیره مانند یون‌های فلزی کاهش دهنند (Topcu and Gamze, 2024).

دوره ۱۱ شماره ۴ زمستان ۱۴۰۳

نقش دارد (Lima *et al.*, 2019). همچنین برای اعمال خاصیت MBC و قطر هاله عدم رشد کمتر فرم نانو امولسیون عصاره زرشک در مقایسه با فرم عصاره مشاهده شد که نشان دهنده قوی تر بودن خاصیت ضدمیکروبی نانو عصاره زرشک است. که این امر به دلیل اندازه ذرات با ابعاد نانو است که می‌توانند به دیواره سلولی باکتری نفوذ کنند، غشای سلولی را از بین ببرند و فعالیت ضد باکتریایی Amiri *et al.*, (۲۰۲۲) و همکاران (El-Zahar, 2023) بیشتری نسبت به ذرات بزرگتر نشان دهند (استافیلکوکوس اورئوس) و گرم منفی (اشریشیاکلی) با قطر هاله عدم رشد به ترتیب $1/75\text{ cm}$ و $2/3$ نشان دادند. به منظور بررسی عصاره و نانومولسیون عصاره زرشک به عنوان نگهدارنده طبیعی، عصاره و نانومولسیون بر روی فیله‌های پوشش‌دهی شده و پایداری اکسیداتیو و میکروبی فیله‌ها طی ۹ روز نگهداری بررسی شد. اکسیدا سیون لیپید (بررسی تیوباربیتوریک اسید) یک معیار کیفی مهم در محصولات گوشتی است. اکسیداسیون لیپید در طول فرآیند و ذخیره سازی باعث تغییرات نامطلوب در رنگ، طعم، عطر و بافت و همچنین از دست دادن ارزش غذایی می‌شود (Mezhoudi *et al.*, 2019). مطابق با نتایج تیوباربیتوریک اسید نشان داده شده در جدول ۳، در روز اول اختلاف آماری معناداری بین تیمارهای مختلف مشاهده نشد. با این حال از روز سوم اختلاف آماری معنادار بین تیمارهای پوشش‌دهی شده با نمونه شاهد مشاهده شد. علاوه بر این، طی ۹ روز نگهداری روند افزایشی معنادار اکسیدا سیون لیپید در همه گروه‌های مورد بررسی مشاهده شد. بطوریکه محتوی تیوباربیتوریک اسید با میانگین $mg\text{ MAL/kg}$ ۰/۱۱ از روز اول با روند افزایشی شاخص تیوباربیتوریک اسید به $mg\text{ MAL/kg}$ ۰/۸۷، ۰/۷۱ و ۰/۶۰ (به ترتیب در تیمارهای

شکل ۳، میزان تشکیل ترکیب نیتروژن فرار فیله‌های ماهی در تمام گروه‌های مورد بررسی با افزایش مدت زمان نگهداری افزایش معنادار یافت. در روز اول اختلاف آماری معنی‌دار بین میزان ترکیب نیتروژن فرار تیمارها گزارش نشد و مقدار آن در تمامی گروه‌های مورد بررسی تقریباً برابر با $100\text{g}/100\text{g}$ بود. افزایش تشکیل ترکیب نیتروژن فرار در نمونه‌های مورد بررسی مشاهده شد. استفاده از عصاره تأثیر مثبت بر روند جلوگیری از افزایش تشکیل ترکیب نیتروژن فرار تیمارها داشت و به ترتیب میزان ترکیب نیتروژن فرار در روز 9 نگهداری در تیمارهای $T2$ و $T3$ به ترتیب $100\text{g}/100\text{g}$ و $24/0.4$ و $27/88$ بود. همانطور که در دستور اجرایی کنترل و نظارت بهداشتی بر فرآورده‌های خام دامی سازمان دامپزشکی ایران و همچنین انجمن بین المللی تولیدکنندگان پودر و روغن ماهی (IFOMA) مشخص شده است، اندازه‌گیری احتمالی تشکیل ترکیب نیتروژن فرار برای ماهی تازه و منجمد $mg/100\text{g}$ 20 است و محدوده قابل استفاده بین منجمد $mg/100\text{g}$ 21 تا 25 و مجموع غیرقابل استفاده آن بیش از $25 mg/100g$ است (Azari *et al.*, 2022). بر این اساس استفاده از عصاره تا 6 روز و نانومولسیون عصاره زرشک تا 9 روز سطح تشکیل ترکیبات نیتروژن فرار فیله‌های ماهی را در سطح قابل قبول نگهداشتند. از آنجاییکه تشکیل ترکیب نیتروژن فرار عمده‌تاً با تجزیه باکتریایی گوشت ماهی تولید می‌شود، مقادیر بالاتر تعداد کل باکتری‌ها در نمونه شاهد نشان‌دهنده فساد بالاتر است. مقادیر پایین‌تر تشکیل ترکیب نیتروژن فرار نمونه‌های پوشش دهی شده با عصاره و نانومولسیون عصاره زرشک، می‌تواند به کاهش سریع‌تر جمعیت باکتریایی یا کاهش ظرفیت باکتری‌ها برای دامیناسیون اکسیداتیو ترکیبات نیتروژن غیر پروتئینی یا هر دو نسبت داده شود (Ibrahim *et al.*, 2024). Sayadi و همکاران (2021)، نشان دادند استفاده از عصاره زرشک سبب کاهش

بدست آمده Jaberی و همکاران (۲۰۲۰)، نشان دادند استفاده از عصاره زرشک در فرمولاسیون فرانکفورت مرغ سبب کاهش معنادار شاخص تیوباربیتوریک اسید نمونه‌ها شده بود.

اکسیداسیون پروتئین مسیری مشابه اکسیداسیون لیپید را ذنبال می‌کند که یک واکنش زنجیره‌ای رادیکال آزاد را از طریق انتزاع یک اتم هیدروژن از یک پروتئین، عمدتاً گروه‌های عاملی به زنجیره‌های جانبی اسیدهای آمینه ایجاد می‌کند. بسته به اسید آمینه اکسید شده، باقیمانده‌های کربونیل، پیوند متقابل و باقیمانده‌های حاوی گوگرد می‌تواند منجر به اثرات نامطلوب بر روی اسید آمینه، رنگ و بافت فرآورده‌های گوشتی شود (Mozaffarzogh., 2020). به این ترتیب، افزایش محتوای کربونیل به طور طبیعی در طول نگهداری گونه‌های ماهی در یخچال اتفاق می‌افتد که با نتایج بدست آمده در این مطالعه منطبق است. تفاوت بین تیمارها ممکن است با همان دلایلی که برای اکسیداسیون لیپید ذکر شد در ارتباط با این واقعیت توضیح داده شود که اکسیداسیون پروتئین و لیپید واکنش همزمان هستند. مالون دی‌آلدید از اکسیداسیون لیپید می‌تواند به باقیمانده‌های اسید آمینه به میوگلوبین و به برخی از مکان‌ها به پروتئین‌های میوفیبریلار متصل شود و آن را در برابر اکسیداسیون پروتئین حساس‌تر کند. از طرف دیگر، اکسیداسیون پروتئین، مقادیر زیادی آهن غیر متصل آزاد می‌کند که عامل‌های پرواکسیدانی برای اکسیداسیون لیپید هستند (Monteiro *et al.*, 2019).

نیتروژن کل فرار به طور گستردگی برای تعیین کیفیت غذاهای دریایی استفاده می‌شود زیرا ارتباط مستقیمی با رشد میکرووارگانیسم‌ها و تشکیل ترکیبات اساسی ناشی از متابولیسم آنها مانند آمونیاک، تری‌متیل آمین، دی‌اتیل آمین و متیل آمین دارد (Maghami *et al.*, 2019). مطابق

شمارش باکتری‌ها و در نتیجه افزایش زمان ماندگاری در نمونه‌های تیمار شده با عصاره‌ها، تأیید تأثیر معنی‌دار عصاره گیاهی به کار برده شده به عنوان ترکیب ضد باکتری‌ای می‌باشد (Perricone *et al.*, 2015) و همکاران Sayadi (۲۰۲۱)، نیز گزارش کردند استفاده از عصاره زرشک سبب کاهش بار میکروبی گوشته بوقلمون در یخچال شد. این محققان علت این امر را به حضور ترکیبات فنولی و آلkalوئیدی موجود در عصاره زرشک گزارش کردند.

نتیجه گیری

مطالعه حاضر به منظور بررسی پتانسیل آنتی‌اکسیدانی و آنتی‌باکتریالی نانومولسیون عصاره زرشک پرداخته شد. در HPLC مجموع سیزده ترکیب فنولی عصاره زرشک با شناسایی شد. نانو امولسیون‌ها PDI برابر 0.345 ± 0.006 داشتند که نشان دهنده همگنی و پایداری خوب نانومولسیون‌های عصاره زرشک بود. همچنین نتایج پتانسیل اثر آنتی‌اکسیدانی و ضد میکروبی عصاره و نانومولسیون زرشک بر روی باکتری‌های گرم مثبت (استافیلوکوکوس اورئوس و لیستریامنوسیتوژن) و باکتری‌های گرم منفی (اشریشیا کلی و سالمونلا/انتریتی میدیس) را تأیید کرد. همچنین افزایش پایداری اکسیداتیو (اکسیداسیون لیپید و اکسیداسیون پروتئین)، کاهش تشکیل ترکیبات نیتروژن فرار و نیز کاهش بار میکروبی فیله‌های ماهی دریای خزر پو شش‌دهی شده با عصاره و نانومولسیون عصاره زرشک نشان داده شد. نتایج این مطالعه تأیید کرد عصاره و نانومولسیون عصاره زرشک می‌تواند به عنوان یک نگهدارنده طبیعی مواد غذایی استفاده کرد.

تعارض منافع

نویسنده‌گان هیچ‌گونه تعارض منافع برای اعلام ندارند.

تشکیل ترکیب نیتروژن فرار در گوشته بوقلمون طی نگهداری در یخچال شد.

بر اساس نتایج به دست آمده (در جدول ۴) بین گروه‌های مختلف در روز اول، از نظر میزان جمعیت باکتری سایکروفیل، مزووفیل و انتروباکتریا سه در گروه‌های تحقیق (به ترتیب $3/14 \text{ Log CFU/g}$ ، $3/34 \text{ Log CFU/g}$ و $2/42 \text{ Log CFU/g}$) اختلاف معنی‌دار وجود نداشت. در صورتیکه از روز ۳ تا روز ۶ روند افزایشی مستمر در جمعیت تمام باکتری‌های مورد بررسی در تیمارهای تحقیق گزارش شد. باکتری‌های سرمادوست، گرم منفی و گروه اصلی میکرواگانیسم‌های مسئول فساد ماهی تازه نگهداری شده به صورت سرد هستند و محدوده فساد باکتری‌های سرمادوست در فرآوردهای همچون فیله ماهی بین 6 Log CFU/g تا 7 Log CFU/g است (Erkan *et al.*, 2006). با توجه به نتایج استفاده از عصاره و نانومولسیون عصاره زرشک جمعیت باکتری‌های سرمادوست، فیله‌های ماهی طی افزایش باکتری‌های سرمادوست در بسته‌بندی معمولی نشانگر وجود اکسیژن کافی برای رسیدن گونه از باکتری‌ها می‌باشد. کاهش سرعت رشد این باکتری‌ها در پوشش‌های عصاره زرشک به ممانعت کنندگی اکسیژن این فیلم‌ها (Indumathi *et al.*, 2019) و همچنین به ترکیبات آنتی‌باکتریالی عصاره زرشک نسبت داده شده است (Sayadi *et al.*, 2021). باکتری‌های انتروباکتریا سه نیز به عنوان یک شاخص بهداشتی و همچنین بخشی از میکروفلور ماهی تازه می‌باشند. نتایج جدول ۴، تأثیر خاصیت ضد میکروبی عصاره و نانومولسیون عصاره زرشک بر انتروباکتریا سه را نشان داد. همچنین در بررسی باکتری‌های مزووفیل در روز ۶ میزان این باکتری‌ها در نمونه شاهد بیشتر از 7 Log CFU/g بودند که بیشتر از حد اکثر محدوده توصیه شده در ماهی خام است. نتایج کاهش

منابع

- Afrozandeh, Z., Rashidi Ranjbar, P., Khoobi, M., Forootanfar, H., Ameri, A., & Foroumadi, A. (2024). New Berberine Conjugates with Self-Assembly and Improved Antioxidant/Neuroprotection Properties: Effect of the Anchored Part on CMC, Shape and Size of the Nanomicelles. *Journal of Cluster Science*, 1-11.
- Al-Askar, A. A., Bashir, S., Mohamed, A. E., Sharaf, O. A., Nabil, R., Su, Y., ... & Behiry, S. I. (2023). Antimicrobial efficacy and HPLC analysis of polyphenolic compounds in a whole-plant extract of *Eryngium campestre*. *Separations*, 10(6), 362.
- Ali, A., Wu, H., Ponnampalam, E. N., Cottrell, J. J., Dunshea, F. R., & Suleria, H. A. (2021). Comprehensive profiling of most widely used spices for their phenolic compounds through LC-ESI-QTOF-MS2 and their antioxidant potential. *Antioxidants*, 10(5), 721.
- Amiri, E., Aminzare, M., Azar, H. H., & Mehrasbi, M. R. (2019). Combined antioxidant and sensory effects of corn starch films with nanoemulsion of *Zataria multiflora* essential oil fortified with cinnamaldehyde on fresh ground beef patties. *Meat Science*, 153, 66-74.
- Ananingsih, V. K., Pratiwi, A. R., Soedarini, B., & Putra, Y. A. S. (2024). Formulation of nanoemulsion parijoto fruit extract (*Medinilla Speciosa*) with variation of tweens stabilizers. *Frontiers in Nutrition*, 11, 1398809.
- Ansarifar, E., & Moradinezhad, F. (2022). Encapsulation of thyme essential oil using electrospun zein fiber for strawberry preservation. *Chemical and Biological Technologies in Agriculture*, 9, 1-11.
- Azari, A., Ahari, H., & Anvar, A. A. (2022). Increased shelf life of *Oncorhynchus mykiss* (Rainbow trout) through Cu-Clay nanocomposites. *Food Science and Biotechnology*, 31(3), 295-309.
- Bhardwaj, D., & Kaushik, N. (2023). HPLC-DAD fingerprinting coupled with chemometric analysis can successfully differentiate Indian *Berberis* species and its plant parts. *3 Biotech*, 13(7), 254.
- Cedillo-Olivos, A. E., Juárez-Chairez, M. F., Cid-Gallegos, M. S., Sánchez-Chino, X., & Jiménez-Martínez, C. (2024). Natural preservatives used in foods: a review. *Critical Reviews in Food Science and Nutrition*, 1-17.
- da Silva, B. D., do Rosário, D. K. A., Neto, L. T., Lelis, C. A., & Conte-Junior, C. A. (2023). Antioxidant, antibacterial and antibiofilm activity of nanoemulsion-based natural compound delivery systems compared with non-nanoemulsified versions. *Foods*, 12(9), 1901.
- Dong, H., Xu, Y., Zhang, Q., Li, H., & Chen, L. (2024). Activity and safety evaluation of natural preservatives. *Food Research International*, 114548.
- Efendi, R., Harahap, N. A., Ayu, D. F., Saputra, E., & Nopiani, Y. (2023, September). The shelf life of smoked catfish coated with edible coating chitosan with an addition horticultural product (red ginger and red galangal) essential oil using the acceleration method. In *IOP Conference Series: Earth and Environmental Science* (Vol. 1241, No. 1, p. 012084). IOP Publishing.
- El Hamdaoui, A., Msanda, F., Boubaker, H., Leach, D., Bombarda, I., Vanloot, P., ... & El Mousadik, A. (2018). Essential oil composition, antioxidant and antibacterial

- activities of wild and cultivated *Lavandula mairei* Humbert. *Biochemical Systematics and Ecology*, 76, 1-7.
- El-Sayed, S. M., & El-Sayed, H. S. (2021). Antimicrobial nanoemulsion formulation based on thyme (*Thymus vulgaris*) essential oil for UF labneh preservation. *Journal of Materials Research and Technology*, 10, 1029-1041.
- Erkan, N., Özden, Ö., Alakavuk, D. Ü., Yildirim, Ş. Y., & İnuğur, M. (2006). Spoilage and shelf life of sardines (*Sardina pilchardus*) packed in modified atmosphere. *European Food Research and Technology*, 222, 667-673.
- Fallah, A. A., Sarmast, E., Dehkordi, S. H., Isvand, A., Dini, H., Jafari, T., ... & Khaneghah, A. M. (2022). Low-dose gamma irradiation and pectin biodegradable nanocomposite coating containing curcumin nanoparticles and ajowan (*Carum copticum*) essential oil nanoemulsion for storage of chilled lamb loins. *Meat Science*, 184, 108700.
- Ganesan, A. R., & Shanmugam, M. (2020). Isolation of phycoerythrin from *Kappaphycus alvarezii*: a potential natural colourant in ice cream. *Journal of Applied Phycology*, 32, 4221-4233.
- Gholamhosseinpour, A., Hashemi, S. M. B., & Jafarpour, D. (2023). Nanoemulsion of *Satureja sahendica* bornm essential oil: Antibacterial and antioxidant activities. *Journal of Food Measurement and Characterization*, 17(1), 317-323.
- Homayoonfal, M., Mousavi, S. M., Kiani, H., Askari, G., Desobry, S., & Arab-Tehrany, E. (2021). Encapsulation of *berberis vulgaris* anthocyanins into nanoliposome composed of rapeseed lecithin: A comprehensive study on physicochemical characteristics and biocompatibility. *Foods*, 10(3), 492.
- Hedayatifard, M., Alinezhad, M. A., & Hashemi Karouei, M. (2017). Individual and combined effects of nisin-Z and sodium citrate on the chemical attributes and lactic acid, mesophyll and psychrophilic bacteria communities of Caspian Kutum fillets (*Rutilus frisii kutum*) Stored at 4 °C. *Aquatic Animals Nutrition*, 3(2), 19-34.
- Huss, H. H. (2007). *Assessment and management of seafood safety and quality* (No. 444). Daya Books.
- Ibrahim, S. Y., Abd El-kader, S. A., Gomaa, W. M., Arab, W. S., & Elsabagh, R. (2024). Assessment of the potential impacts of garlic and/or sage essential oils on quality enhancement of chilled tilapia fish kofta. *Journal of Advanced Veterinary Research*, 14(2), 282-285.
- Idumah, C. I., Zurina, M., Ogbu, J., Ndem, J. U., & Igba, E. C. (2020). A review on innovations in polymeric nanocomposite packaging materials and electrical sensors for food and agriculture. *Composite Interfaces*.
- Indumathi, M. P., Sarojini, K. S., & Rajarajeswari, G. R. (2019). Antimicrobial and biodegradable chitosan/cellulose acetate phthalate/ZnO nano composite films with optimal oxygen permeability and hydrophobicity for extending the shelf life of black grape fruits. *International journal of biological macromolecules*, 132, 1112-1120.
- Institute of Standards and Industrial Research of Iran [Internet]. (2024). Microbiology of food and animal feed - Enumeration of psychrophilic microorganisms - Test method. ISIRI no 2690. 1st.edition, Karaj: ISIRI; [in Persian]. Available from: <https://standard.inso.gov.ir>
- Institute of Standards and Industrial Research of Iran [Internet]. (2015). Microbiology of the food chain —Horizontal method for the enumeration of microorganisms — Part 2:

- Colony count at 30 °C by the surface plating technique. ISIRI no 5272-2. 1st.edition, Karaj: ISIRI; [in Persian]. Available from: <https://standard.inso.gov.ir>
- Jaberi, R., Kaban, G., & Kaya, M. (2020). The effect of barberry (*Berberis vulgaris* L.) extract on the physicochemical properties, sensory characteristics, and volatile compounds of chicken frankfurters. *Journal of Food Processing and Preservation*, 44(7), e14501.
- Jawed Khan, M., Hafeez, A., & Aftab Siddiqui, M. (2023). Nanocarrier based delivery of berberine: a critical review on pharmaceutical and preclinical characteristics of the bioactive. *Current Pharmaceutical Biotechnology*, 24(11), 1449-1464.
- Khanzadi, S., Keykhosravy, K., Hashemi, M., & Azizzadeh, M. (2020). Alginate coarse/nanoemulsions containing *Zataria multiflora* Boiss essential oil as edible coatings and the impact on microbial quality of trout fillet. *Aquaculture Research*, 51(3), 873-881.
- Lima, M. D. C., De Sousa, C. P., Fernandez-Prada, C., Harel, J., Dubreuil, J. D., & De Souza, E. L. (2019). A review of the current evidence of fruit phenolic compounds as potential antimicrobials against pathogenic bacteria. *Microbial pathogenesis*, 130, 259-270.
- Maghami, M., Motalebi, A. A., & Anvar, S. A. A. (2019). Influence of chitosan nanoparticles and fennel essential oils (*Foeniculum vulgare*) on the shelf life of Huso huso fish fillets during the storage. *Food science & nutrition*, 7(9), 3030-3041.
- Mezhoudi, M., Salem, A., Abdelhedi, O., Fakhfakh, N., Mabrouk, M., Khorchani, T., ... & Zouari, N. (2022). Development of active edible coatings based on fish gelatin enriched with *Moringa oleifera* extract: Application in fish (Mustelus mustelus) fillet preservation. *Food Science & Nutrition*, 10(11), 3979-3992.
- Mehrabi, E., Bonyadian, M., & Fallah, A. A. (2024). Investigating the Effect of Chitosan Coating Along with Ginger Essential oil on Shelf life of Salmon Fish in Refrigerator Temperature. *Iranian Food Science and Technology Research Journal*, 20(4), 447-463.
- Maghami, M., Motalebi, A. A., & Anvar, S. A. A. (2019). Influence of chitosan nanoparticles and fennel essential oils (*Foeniculum vulgare*) on the shelf life of Huso huso fish fillets during the storage. *Food science & nutrition*, 7(9), 3030-3041.
- Monteiro, M. L., Márscico, E. T., Rosenthal, A., & Conte-Junior, C. A. (2019). Synergistic effect of ultraviolet radiation and high hydrostatic pressure on texture, color, and oxidative stability of refrigerated tilapia fillets. *Journal of the Science of Food and Agriculture*, 99(9), 4474-4481.
- Monteiro, M. L. G., Márscico, E. T., & Conte-Junior, C. A. (2020). Application of active packaging in refrigerated rainbow trout (*Oncorhynchus mykiss*) fillets treated with UV-C radiation. *Applied Sciences*, 10(17), 5787.
- Mozaffarzogh, M., Misaghi, A., Shahbazi, Y., & Kamkar, A. (2020). Evaluation of probiotic carboxymethyl cellulose-sodium caseinate films and their application in extending shelf life quality of fresh trout fillets. *Lwt*, 126, 109305.
- Mutlu, N. (2023). Effects of grape seed oil nanoemulsion on physicochemical and antibacterial properties of gelatin-sodium alginate film blends. *International Journal of Biological Macromolecules*, 237, 124207.
- Nguyen, H. L., Tran, T. H., Hao, L. T., Jeon, H., Koo, J. M., Shin, G., ... & Oh, D. X. (2021).

- Biorenewable, transparent, and oxygen/moisture barrier nanocellulose/nanochitin-based coating on polypropylene for food packaging applications. *Carbohydrate polymers*, 271, 118421.
- Och, A., Olech, M., Bąk, K., Kanak, S., Cwener, A., Cieśla, M., & Nowak, R. (2023). Evaluation of the antioxidant and anti-lipoxygenase activity of *Berberis vulgaris* L. leaves, fruits, and stem and their LC MS/MS polyphenolic profile. *Antioxidants*, 12(7), 1467.
- Omar, A. A. A. H., Gad, M. F., Abdelhafez, H. M., Ebrahem Mersal, A. T., & Mossa, A. T. H. (2023). Phytochemical Study, Antioxidant Potential and Preparation of a Clove Nanoemulsion Loaded with Pomegranate Peel Extract. *Egyptian Journal of Chemistry*, 66(13), 21-37.
- Pandey, V. K., Srivastava, S., Dash, K. K., Singh, R., Dar, A. H., Singh, T., ... & Kovacs, B. (2024). Bioactive properties of clove (*Syzygium aromaticum*) essential oil nanoemulsion: A comprehensive review. *Heliyon*.
- Parseghian, L., Kahrarian, N., Arabanian, A. S., Alvand, Z. M., Massudi, R., Rahimi, M., & Rafati, H. (2024). Berberine-loaded nanoemulsions as a natural food preservative; the impact of femtosecond laser irradiation on the antibacterial activity. *Heliyon*, 10(17).
- Perricone, M., Arace, E., Corbo, M. R., Sinigaglia, M., & Bevilacqua, A. (2015). Bioactivity of essential oils: a review on their interaction with food components. *Frontiers in microbiology*, 6, 76.
- Rezaei Savadkouhi, N., Ariaai, P., & Charmchian Langerodi, M. (2020). The effect of encapsulated plant extract of hyssop (*Hyssopus officinalis* L.) in biopolymer nanoemulsions of *Lepidium perfoliatum* and *Orchis mascula* on controlling oxidative stability of soybean oil. *Food Science & Nutrition*, 8(2), 1264-1271.
- Sayadi, M., Langroodi, A. M., & Pourmohammadi, K. (2021). Combined effects of chitosan coating incorporated with *Berberis vulgaris* extract and *Mentha pulegium* essential oil and MAP in the shelf life of turkey meat. *Journal of Food Measurement and Characterization*, 15, 5159-5169.
- Shekarabi, S. P. H., Mehrgan, M. S., Ramezani, F., Dawood, M. A., Van Doan, H., Moonmanee, T., ... & Kari, Z. A. (2022). Effect of dietary barberry fruit (*Berberis vulgaris*) extract on immune function, antioxidant capacity, antibacterial activity, and stress-related gene expression of Siberian sturgeon (*Acipenser baerii*). *Aquaculture Reports*, 23, 101041.
- Soutelino, M. E. M., de Paiva Vieira, G., Goulart, M. B., Miranda, K. C., da Conceição, R. P., Pimentel, T. C., ... & da Silva Rocha, R. (2024). Natural food dyes on dairy products: A critical approach between 2012-2023 literature regarding the technological and functional aspects, health benefits and future trends. *Trends in Food Science & Technology*, 104370.
- Suleria, H. A., Barrow, C. J., & Dunshea, F. R. (2020). Screening and characterization of phenolic compounds and their antioxidant capacity in different fruit peels. *Foods*, 9(9), 1206.
- Tacer-Tanas, S., Oguzhan-Yildiz, P., & Arslan, M. (2024). How fillet quality changes in rainbow trout (*Oncorhynchus mykiss*) fed diets supplemented with barberry (*Berberis vulgaris*) fruit extract. *Journal of Food Composition and Analysis*, 106986.
- Taouzinet, L., Djaoudene, O., Fatmi, S., Bouiche, C., Amrane-Abider, M., Bougherra, H., ... &

-
- Madani, K. (2023). Trends of nanoencapsulation strategy for natural compounds in the food industry. *Processes*, 11(5), 1459.
- Topcu, K. C., & Gamze, U. G. U. R. (2024). Effect of Berberis vulgaris L. Extract on Beef Patties Quality Parameters. 10:1-16.

Evaluation of antioxidant and antibacterial activity of barberry (*Berberis vulgaris*) extract Nano emulsion as a natural preservative in a food model

Behrouz Dast Peyman, Amir Shakerian², Zohreh Mashak^{3*}, Ebrahim Rahimi¹ and Reza Sharafati Chaleshtori⁴

¹ Department of Food Hygiene, Shahrekord Branch, Islamic Azad University, Shahrekord, Iran

² Research Center of Nutrition and Organic Products, Shahrekord Branch, Islamic Azad University, Shahrekord, Iran

³ Department of Food Hygiene, Karaj Branch, Islamic Azad University, Karaj, Iran.

⁴ Research Center for Biochemistry and Nutrition in Metabolic Disease, Kashan University of Medical Sciences, Kashan, Iran

Corresponding Author: Mashak@Kiau.ac.ir

Abstract

Recently, consumer preference has been more toward foods preserved with natural plant preservatives (such as extracts and essential oils). In this study, the potential of antioxidant and antibacterial activity of barberry extract nano emulsions was evaluated. A total of thirteen phenolic compounds were identified in the extract. The antioxidant properties of barberry extract and nano emulsion by DPPH and ATBS methods were 0.02-2.14 mg/g and 0.02 -2.10 mg/g, respectively. Also, the antibacterial properties on gram positive (*Staphylococcus aureus* and *Listeria monocytogenes*) and gram-negative bacteria (*Escherichia coli* and *Salmonella enteritidis*) were confirmed. The most resistant and sensitive pathogens to barberry extract and its nano emulsion were *Staphylococcus aureus* and *Salmonella enteritidis*, respectively. In the following, the oxidative (lipid and protein oxidation) and antibacterial potential of Nano emulsions was evaluated on Caspian Sea fish fillets as a perishable food model. The results showed increased oxidative stability, lower formation of volatile nitrogen compounds, and reduced microbial load of coated fish fillet. Thus, the barberry extract Nano emulsion was able to maintain the quality of fish fillets in the refrigerator for 6 days. In summary, it can be said that the barberry extract Nano emulsion as a natural preservative is recommended to increase the shelf life and maintain the quality of food.

Key words: Nano emulsion, Food Shelf Life, Natural Preservatives, *Berberis vulgaris*, *Rutilus frisii*